

نشریه تحقیقات کاربردی علوم جغرافیایی، سال بیست و دوم، شماره ۶۶، پاییز ۱۴۰۱

بررسی جریان‌های مدل گردش اتمسفری بزرگ مقیاس بر روزهای بارش شدید دشت اردبیل

دریافت مقاله: ۹۷/۱۲/۲۶ پذیرش نهایی: ۹۸/۷/۱۵

صفحات: ۲۰۳-۱۹۱

سحر نصیری: دانشجوی دکتری اقلیم شناسی دانشگاه محقق اردبیلی، اردبیل، ایران.

Email: s.nasiri66@gmail.com

برومند صلاحی: استاد گروه اقلیم شناسی دانشگاه محقق اردبیلی، اردبیل، ایران^۱

Email: bromand416@yahoo.com

علی اکبر رسولی: استاد دانشکده برنامه ریزی و علوم محیطی دانشگاه تبریز، تبریز، ایران.

Email: aarasuly@yahoo.com

فرامرز خوش اخلاق: دانشیار اقلیم شناسی دانشگاه تهران، تهران، ایران.

Email: fkhosh@ut.ac.ir

چکیده

سیستم گردش اتمسفری برای تعیین سطح آب و هوا و محیط زیست و تأثیر آب و هوای منطقه و ویژگی های آن اهمیت دارد. در این مقاله، برای مطالعه تأثیر آن، سیستم طبقه بندی، توسعه یافته توسط Lamb، برای دست آوردن اطلاعات گردش جوی روزهای بارش شدید استان اردبیل در مقیاس روزانه اعمال می شود. به این منظور، داده های فشار تراز دریا در مقیاس روزانه روزهای بارش شدید از سال ۱۹۷۱-۲۰۰۷ برای بدست آوردن شاخص سیستم لمب با ۲۷ کلاس به کار گرفته شده است. فراوانی شاخص لمب برای دوره های مختلف محاسبه و توصیف شده است، پنج کلاس از شاخص های لمب دارای فراوانی بیشتری بودند: E, SE, A, C, CSE، این شاخص ها ابزاری برای توصیف رابطه بارش با سیستم گردش اتمسفری در اردبیل است. بارش شدید بیشتر با خانواده سیکلونی، کم فشاری از طرف عرضهای شمالی و کم فشار گنگ و پاکستان ارتباط دارند. شاخص SE متداول ترین شاخص سیستم گردش اتمسفری لمب می باشد. فصول سرد و خنک که از آگوست و مارچ آغاز می شود با کلاس های SE, A, C, E, CSE مرتبط هستند، این کلاس ها کمترین نقش را در فصول گرم دارند. SE, NE متداول ترین کلاس سیستم گردش جوی در تابستان بویژه در ماه جولای می باشند.

کلید واژگان: سیستم گردش اتمسفری، لمب، بارش شدید، اردبیل.

۱. نویسنده مسئول: اردبیل، بلوار دانشگاه، دانشگاه محقق اردبیلی، دانشکده علوم انسانی، گروه جغرافیا

مقدمه

سیستم بارش در اردبیل با توجه به موقعیت آن در شمال غربی ایران و همسایگی با جلگه گیلان و دریای خزر دارای رفتار بسیار نامنظم در ابعاد مکانی و زمانی است (صلاحی و همکاران، ۱۹۹۳). از این رو، مطالعه تغییرات بارش به دلیل تأثیر آن بر فعالیت های اجتماعی و اقتصادی به مانند تولید محصولات کشاورزی، استفاده از زمین زراعی و مدیریت منابع آب حایز اهمیت است (تریگو و داکارما، ۲۰۰۰). سیستم گردش اتمسفری در مقیاس بزرگ نقش مهمی در تغییر آب و هوای محلی دارد، که شامل حرکت هوا در مقیاس سیاره‌ای و تأثیر آن بر تغییرات آب و هوای محلی و منطقه‌ای در مقیاس های کوچک و بزرگ می‌باشد. تحقیقات مربوط به ارتباط آن‌ها می‌تواند درک ما را از رژیم بارندگی منطقه‌ای بهبود بخشد (تویتو^۱، ۲۰۱۰: جلیلی و همکاران، ۲۰۱۲: لیو و همکاران^۲، ۲۰۱۵: بل فلیم^۳ و همکاران، ۲۰۱۵).

مدل سیستم گردش اتمسفری (لمب) که اولین بار توسط هس^۴ (۱۹۶۹) و بروزنکسی^۵ (۱۹۶۹) و لمب^۶ (۱۹۷۲) برای اروپای مرکزی و برای تغییر مقادیر فشار سطحی در اطراف جزایر بریتانیا ایجاد شده‌اند، اطلاعات ساده و مفیدی از گردش دینامیکی جو ارائه می‌دهد. از آنجا که این روش بر اساس مجموعه‌ای از شاخص‌های باد ژئوستروفیک و شرایط انعطاف پذیری توصیف می‌شود، ابزار مفیدی برای شناخت طبقه بندی شاخص‌های سیستم اتمسفری است. این مدل، شرایط سینوپتیک غالب را به چند دسته طبقه بندی می‌کند: هشت دسته جهت (نقاط مرکزی و مرزی)، و دو دسته (سیکلونی یا آنتی سیکلونی) (جونز^۷ و کلی، ۱۹۸۲: جلیلی و همکاران، ۲۰۱۲). لازم به ذکر است که لمب (۱۹۵۰) در اصل برای طبقه بندی انواع آب و هوای روزانه طراحی شده است. (جونز و کلی، ۱۹۸۲). در این پژوهش، به منظور مطالعه بارش شدید اردبیل، از مدل لمب که یک طرح هدفمند از جریان‌های آب و هوای منطقه‌ای را بر اساس داده‌های فشار متوسط تراز دریا (MSLP) با مقیاس ۵ درجه عرض جغرافیایی و ۱۰ درجه طول جغرافیایی که برای اولین بار برای نیمکره شمالی به منظور شناخت جریان‌های جوی ارایه شده است (چن^۸، ۲۰۰۰) استفاده شده است.

مطالعات متعدد بر روی تحلیل سینوپتیکی و طبقه بندی های اتمسفری انجام شده است. به طور مثال، نوسان شمالی اقیانوس اطلس (NAO) به عنوان پدیده اصلی کنترل بارش های زمستانی در شبه جزیره غربی و مراکش شناخته شده است (هورل^۹ و لون^{۱۰}، ۱۹۹۷: اوسبورن^{۱۱} و همکاران، ۱۹۹۹). ریکاردو^{۱۲} و همکاران (۲۰۰۰) انواع آب‌وهوای اتمسفری و تأثیرات بر رژیم های بارش در پرتغال را مطالعه کرده‌اند، آنها نشان داده‌اند که، اگرچه آنتی سیکلون (A) متداولترین گونه در زمستان است (۳۷٪) اما مقدار کمتری از بارش‌های

- 1 - Tveito OE
- 2 - Liu
- 3 - Belleflamme
- 4 - Hess
- 5 - Bronzski
- 6 - Lamb
- 7 - Jones
- 8 - Chen
- 9 - Hurrell JW,
- 10 - Loon
- 11 - Osborn
- 12 - Ricardo

زمستانی (کمتر از ۱۶ درصد) را به خود اختصاص داده است. گودس^۱ و پالتیکوف^۲ (۱۹۹۸) نشان داده‌اند که رابطه بین گردش اتمسفری و بارندگی در مناطق جغرافیای مختلف، فصل به فصل متفاوت است. دلیانگ چن (۲۰۰۰)، شاخص‌های جریان‌های گردش اتمسفری را برای سوئد مورد استفاده قرار داد، وی نشان داد که یک جریان مستقیم با یک مولفه غربی متمایل به تغییرات مثبت درجه حرارت سالیانه و جریان غربی یا جنوب غربی با ناهنجاری‌های دمای شدید همراه است، در حالی که شرایط آنتی سیکلون نقش مهمی در ایجاد ناهنجاری-های دمای منفی دارند. جلیلی و همکاران (۲۰۱۲) به بررسی تأثیرات سیستم گردش جوی در تغییرات سطح آب دریاچه ارومیه پرداختند، زیرا تغییرات فصلی در سطح آب همراه با بارش فصلی و داده‌های دمای هوا به شدت به تغییرات گردش اتمسفری وابسته است.

در مطالعات داخلی، روح بخش سیگارودی و همکاران (۱۳۹۷) به بررسی بارش در دوره گرم سال پرداخته‌اند آنها به این نتیجه رسیدند که، بررسی‌ها تغییرات نسبتاً کمی را در الگوهای بارش بهار و تابستان، در سواحل کاسپین، شمال غرب و غرب، طی ۲۰ ساله و ۲۱ ساله دوم نسبت به دوره ۲۰ ساله و ۲۰ ساله اول نشان می‌داد. به طور کلی از شمال و شمال غرب به سوی جنوب و جنوب شرق از میانگین بارش کاسته شده است. جلالی و همکاران (۱۳۹۸) به بررسی همدید بارش‌های ایران پرداخته‌اند. آنها به این نتیجه رسیدند که سازوکار دینامیکی و همدیدی بارش‌های فراگیر زمستانه ایران تحت تأثیر الگوی ترکیبی جو نظیر کم‌فشار مدیترانه-کم-فشار دو هسته‌ای خلیج فارس، کم‌فشار بسته ایران مرکزی-پرفشار شرق اروپا، کم‌فشار اورال-پرفشار خاورمیانه، کم‌فشار عربستان-پرفشار اروپا و کمربند پرفشار سیبری-کم‌فشار ایران مرکزی قرار دارند. بیشترین منبع تغذیه شار رطوبتی بارش‌های زمستانه حاصل اندرکنش ترازهای میانی جو به ویژه ترازهای ۸۵۰ و ۷۰۰ هکتوپاسکال بوده است.

استان اردبیل به دلیل واقع شدن در شمال غرب کشور، همواره تحت تأثیر بارش‌های شدید بوده است. به دلیل موقعیت جغرافیایی و شرایط محلی خاص این منطقه، همه ساله بارش‌های شدید متعددی در آن شکل گرفته، سبب ایجاد خسارت‌های شدید در بخش کشاورزی، تأسیسات و زیرساخت‌ها می‌شود. بنابراین، بررسی این پدیده و شناسایی الگوهای سینوپتیک سطح زمین و سطوح فوقانی که به رخداد این بارش‌ها در اردبیل منجر می‌شود، از ارزش و اهمیت حیاتی برای منطقه برخوردار است. بنابراین، در این پژوهش با استفاده از مدل لمب به بررسی جریان‌های جوی منجر به بارش‌های شدید در اردبیل پرداخته شده است.

روش تحقیق

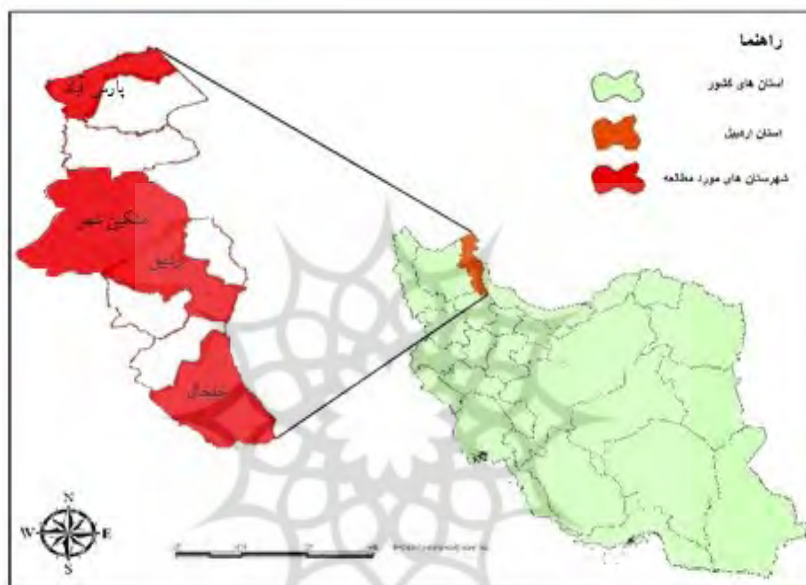
منطقه مورد مطالعه

دشت اردبیل در شمال غربی ایران حد فاصل عرض جغرافیایی ۳۸ درجه و ۳ دقیقه تا ۳۸ درجه و ۲۷ دقیقه شمالی و طول جغرافیایی ۳۷ درجه و ۵۵ دقیقه تا ۴۸ درجه و ۲۰ دقیقه شرقی قرار گرفته است (شکل ۱).

1 - Goodess

2 - Palticof

بخش‌های غربی کوه‌های البرز (کوه‌های تالش) بر دشت اردبیل مشرف است و در امتداد شرقی دامنه سبلان قرار دارد. مساحت آن در حدود ۹۹۰ کیلومتر مربع است. متوسط بارش سالانه در ایستگاه سینوپتیک اردبیل، در حدود ۳۰۴ میلی متر است. اردیبهشت پر بارترین ماه سال در اردبیل است میانگین دمای سالانه در ایستگاه اردبیل، ۹ درجه سانتی گراد و کمینه دمای ثبت شده ۳۳/۸- درجه سانتی گراد و متوسط تعداد روزهای یخبندان ۱۳۰ روز در سال است بنابراین جزو نواحی سردسیر ایران محسوب می شود (دانشور و دین پژوه، ۱۳۹۱: صلاحی و عالی جهان، ۱۳۹۴).



شکل (۱). نقشه موقعیت ایستگاه‌های مورد مطالعه

داده و روش کار

در این پژوهش داده های فشار تراز دریا از سایت NCEP و داده های روزهای بارش شدید از سازمان هواشناسی اردبیل از سال ۱۹۷۰ تا ۲۰۰۷ برای عرض جغرافیایی ۳۷ درجه و پنج دقیقه و پنجاه درجه طول جغرافیایی برای روزهای بارش شدید چهار ایستگاه جدول (۱) دشت اردبیل مورد استفاده قرار گرفته اند. طبقه بندی مدل سیستم جریان گردش اتمسفری لمب بر اساس برنامه ای است که در سال ۱۹۵۰ لمب برای جزایر بریتانیا ابداع کرده است و توسط جکینسون^۱ و کولیسون^۲ با تعریف تعدادی از شاخص ها وقوانین طبقه بندی بصورت خودکار انجام شده است. بر اساس بریفا^۳ در سال ۱۹۹۵، طبقه بندی " لمب" به وسیله ابزارهای کامپیوتری براساس قوانین زیر و باد ژئوستروفیک حول منطقه مورد مطالعه شکل (۲) در شانزده نقطه

1 -Jakinson
2 - Collison
3 -Briffa

انجام می‌گیرد. این قوانین بر اساس شش شاخص زیر تعریف می‌شود. قوانین لمب طی برنامه ای جهت شناخت جریان‌های اتمسفری روهای بارش شدید اردبیل در نرم افزار متلب به انجام رسیده است. روابط (۱ تا ۶).

$$u = 0.5[p(12) + p(13) - p(4) - p(5)], \quad \text{رابطه (۱)}$$

$$v = 0.499[p(5) + 2p(9) + p(13) - p(4) + 2p(8) - p(12)], \quad \text{رابطه (۲)}$$

$$v = \sqrt{u^2 + v^2}, \quad \text{رابطه (۳)}$$

$$\varepsilon_u = 0.529[p(15) + p(16) - p(8) - p(9)] - 0.478[p(8) + p(9) - p(1) - p(2)], \quad \text{رابطه (۴)}$$

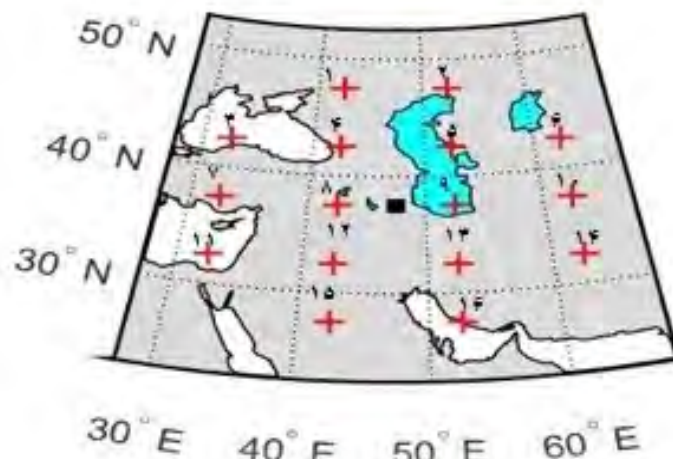
$$\varepsilon_v = 0.499[p(6) + 2p(10) + p(14) - p(5) - 2p(9) - p(13) - p(4) - 2p(8) - p(12) + p(3) + 2p(7) + p(11)], \quad \text{رابطه (۵)}$$

$$\varepsilon = \varepsilon_u + \varepsilon_v, \quad \text{رابطه (۶)}$$

که p فشار تراز دریا در نقاط شبکه ای لمب در منطقه مورد مطالعه ، u و v غربی (شبکه‌ای) و جنوبی (نصف النهاری) اجزای باد ژئوستروفیک می‌باشند. همچنین V سرعت ترکیبی باد، ε_u (گرادیان نصف انهاری u) ، ε_v (گرادیان شبکه ای) غربی و جنوبی حرکت چرخشی و ε مجموع حرکات چرخشی می‌باشند. فشار تراز دریا (MSLP) به این دلیل استفاده شده است که دارای بیشترین رکورد گردش جوی است. تمام شاخص‌ها دارای واحدهای هکتوپاسکال (hPa) در هر ۱۰ درجه است. ثابت‌های مختلف در معادله از واقعیت گرفته شده است که شبکه سلولی منطقه را با ابعاد مختلف نشان می‌دهند. با به دست آوردن مقادیر u و v ، جهت باد میتواند تعیین شود. سیستم گردش اتمسفری جو در دو دسته طبقه بندی می‌شود: انواع جریان‌های جهت دار: (شمال N، شمال شرقی NE، شرق E جنوب شرقی SE، جنوب S، جنوب غربی SW، غرب W، شمال غربی NW) که با جهت باد منسجم مشخص می‌شوند ($|\varepsilon| < V$). دسته دیگر بر روی چرخش اتمسفری تأکید دارد، ($|\varepsilon| < 2V$) که هم میتواند سیکلونی (C) و آنتی سیکلونی (A) باشد. همچنین امکان دسته بندی‌های ترکیبی نیز وجود دارد ($v < |\varepsilon| < 2v$) که می‌تواند ترکیباتی از دو دسته اصلی باشد (چن ۲۰۰۰: ریکاردو ام تریگو، ۲۰۰۰: جلیلی و همکاران، ۲۰۱۲).

جدول (۱). مشخصات ایستگاه‌های مورد مطالعه

| نام ایستگاه | طول جغرافیایی | عرض جغرافیایی | ارتفاع (متر) | بارش سالیانه (میلی متر) |
|-------------|---------------|---------------|--------------|-------------------------|
| اردبیل | ۴۸° ۱۸' E | ۳۸° ۱۵' N | ۱۳۵۱ | ۳۰۰ |
| پارس آباد | ۴۷° ۹۰' E | ۳۹° ۶۲' N | ۱۱۰۰ | ۲۸۲ |
| خلخال | ۴۸° ۵۳' E | ۳۸° ۶۲' N | ۱۸۴۳ | ۳۲۷ |
| مشکین شهر | ۴۷° ۶۶' E | ۳۸° ۳۹' N | ۱۴۰۰ | ۳۶۱ |



شکل (۲). نقاط شبکه ای مورد استفاده منطقه مورد مطالعه در "لمب"

جدول (۲). علائم اختصاری لاتین سیستم "لمب"

| | Anticyclone | Neutral vorticity | Cyclonic |
|-----------------|-------------|-------------------|----------|
| | A | N | C |
| North easterly | ANE | NE | CNE |
| Easterly | AE | E | CE |
| South- easterly | ASE | SE | CSE |
| Southerly | ASW | SE | CS |
| south-westerly | ASW | SW | CSW |
| westerly | AW | W | CW |
| North-westerly | ANW | NW | CN |
| Northerly | AN | N | CN |

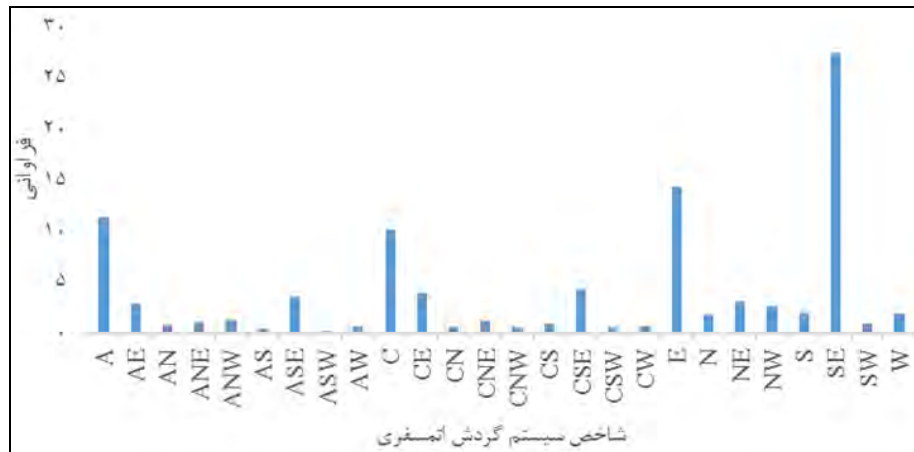
نتایج

فراوانی انواع سیستم گردش اتمسفری (لمب)

مدل سیستم گردش اتمسفری (لمب) برای نشان دادن فراوانی جریان‌های گردش جوی برای هر ماه از سال ۱۹۷۰-۲۰۰۷ استفاده شده است. شرح مختصری از ویژگی‌های اصلی انواع شاخص‌های گردش اتمسفری (لمب) در شکل (۳) آمده است.

فراوانی ۲۷ شاخص سیستم گردش اتمسفری در طول سالیان ۱۹۷۰-۲۰۰۷ در شکل (۳) نشان داده شده است. اکثریت شاخص‌های سیستم گردش اتمسفری کمتر از ۵٪ می باشد. فراوانی پنج شاخص از مجموعه شاخص سیستم گردش اتمسفری جریان‌های (جنوبی- شرقی CSE (۴,۳٪) و سیکلونی C (۱۰٪) از خانواده سیکلون، A انتی سیکلون (۱۱,۴٪)، E شرقی (۱۴,۴٪) و SE جنوبی-غربی (۲۷,۵٪) بیشتر از ۵٪ هستند و همین مقدار کافی است که این پنج جریان برای مطالعه بارش و اقلیم اردبیل مورد توجه قرار گیرد. به نظر می‌رسد جریان SE (جنوبی-غربی) با ۲۷,۵٪ فراوانی شاخص قالب در منطقه است و بیشترین تأثیر را بر روی بارش و اقلیم اردبیل دارد.

شوشگاه علوم انسانی و مطالعات فرهنگی



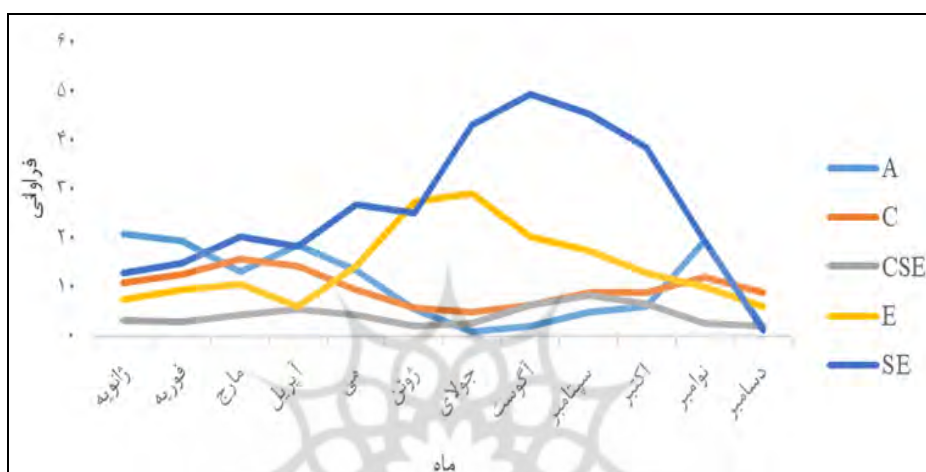
شکل (۳). فراوانی توزیع سیستم گردش اتمسفری (لمب) برای هر ماه در طول ۱۹۷۰-۲۰۰۷

فراوانی ماهانه شاخص‌های مدل سیستم گردش اتمسفری (لمب)

پنج جریان عمده مدل سیستم گردش اتمسفری (لمب) که داری بیشترین فراوانی هستند به عنوان شاخص‌های مهم سیستم گردش اتمسفری در اردبیل انتخاب شده‌اند. جدول (۳) فراوانی پنج شاخص اصلی را برای هر ماه نشان می‌دهد. هر پنج شاخص سیستم گردش اتمسفری در هر ماه نقش مهمی دارند. نوع غالب سیستم گردش اتمسفری جریان جنوب شرقی SE (۲۷٪) در طول ماه‌های ژانویه تا دسامبر نقش مهمی دارد، اما بیشترین تاثیر این شاخص در ماه‌های جولای تا سپتامبر در فصل تابستان است. به نظر می‌رسد جریان جنوب شرقی SE و E شرقی جریان‌های مهم و مشخصی هستند که در تابستان اقلیم و بارش اردبیل را تحت تاثیر قرار می‌دهند. شرایط سیکلونی (۱۰٪) C در طول سال در اردبیل حاکم است اما بیشترین تراکم فراوانی آن در مارچ و آوریل و دماهای خنک و فصل بارانی می‌باشد. همچنین انتظار می‌رود باران‌های سیکلونی در اردبیل در فصل بهار اتفاق بیفتد. جریان شرقی E (۱۴٪) دارای بیشترین فراوانی رخداد در ماه‌های ژوئن تا آگوست حتی بیشتر از جریان‌های سیکلونی جنوب شرقی CSE (۳،۳٪) می‌باشد. برای نشان دادن بهتر تغییرات فصلی پنج شاخص اصلی سیستم گردش اتمسفری، فراوانی‌های پنج شاخص مهم برای هر ماه در شکل (۵) ترسیم می‌شوند. همانطور که در جدول (۳) نشان داده شده است، بیشترین تغییرات فصلی مهم برای جریان شرقی E است، سه شاخص دیگر تغییرات فصلی مشابهی دارند. از سوی دیگر، همبستگی منفی بین این پنج شاخص وجود دارد فراوانی بالا برای شرایط آنتی سیکلون در پاییز و زمستان، در حالی که جریان‌های شرقی E و جنوب شرقی SE در این فصول کمترین فراوانی را دارند. واضح است که شرایط آنتی سیکلون و شرایط آب و هوایی جریان‌های شرقی E و جنوب شرقی SE هم هوا و بارش را در اردبیل کنترل می‌کنند.

جدول (۳). فراوانی ماهانه گونه های سیستم گردش اتمسفری لمب) در طول سالهای ۱۹۷۰-۲۰۰۷

| | ژانویه | فوریه | مارچ | آوریل | می | ژوئن | جولای | اگوست | سپتامبر | اکتبر | نوامبر | دسامبر |
|-----|--------|-------|------|-------|------|------|-------|-------|---------|-------|--------|--------|
| A | ۲۰.۸ | ۱۹.۶ | ۱۳.۳ | ۱۸.۶ | ۱۳.۴ | ۵.۶ | ۱ | ۲ | ۵ | ۶.۱ | ۱۹.۵ | ۱.۷ |
| C | ۱۱ | ۱۲.۶ | ۱۵.۸ | ۱۴.۲ | ۹.۵ | ۵.۷ | ۴.۸ | ۶.۲ | ۸.۸ | ۹ | ۱۲.۱ | ۹ |
| CSE | ۳.۲ | ۲.۸ | ۴.۴ | ۵.۵ | ۴.۴ | ۲.۱ | ۲.۷ | ۶.۲ | ۸.۲ | ۶.۵ | ۲.۶ | ۲ |
| E | ۷.۵ | ۹.۴ | ۱۰.۶ | ۶ | ۱۴.۴ | ۲۷.۴ | ۲۹.۱ | ۲۰.۴ | ۱۷.۶ | ۱۲.۹ | ۹.۹ | ۶ |
| SE | ۱۳ | ۱۵ | ۲۰.۲ | ۱۸.۳ | ۲۶.۹ | ۲۵.۱ | ۴۳.۲ | ۴۹.۶ | ۴۵.۵ | ۳۸.۷ | ۱۹.۶ | ۱.۲ |

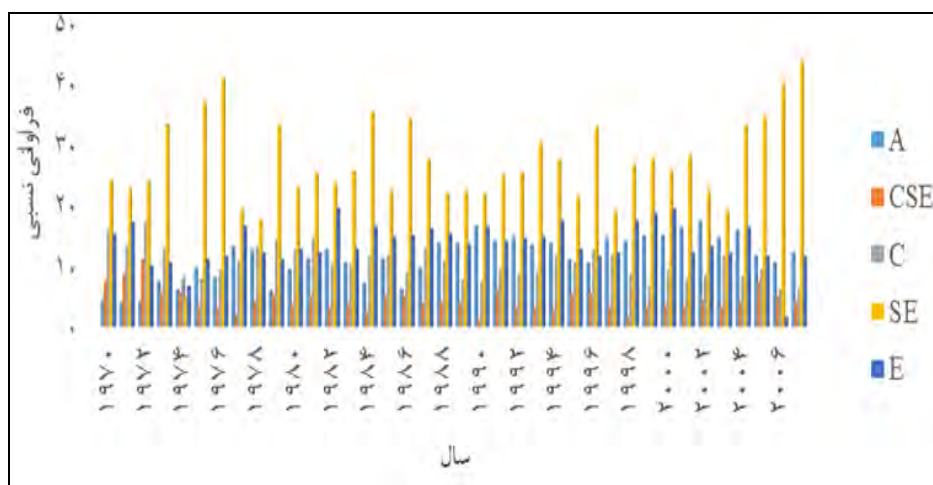


شکل (۴). تغییرات فصلی فراوانی گونه های سیستم گردش اتمسفری در طول سالهای ۱۹۷۰-۲۰۰۷

تغییرپذیری پنج جریان اصلی در طول سالهای (۱۹۷۰-۲۰۰۷)

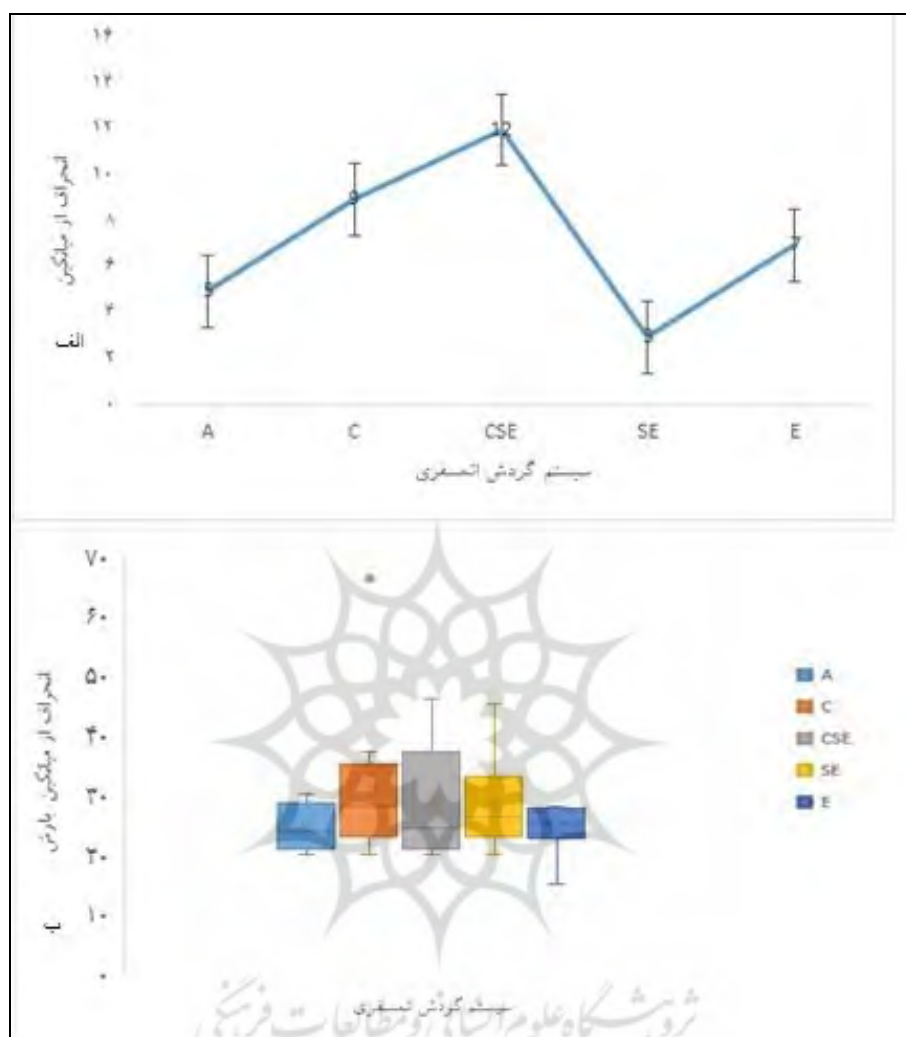
جریان های سیستم اتمسفری لمب در بارش و اقلیم منطقه تاثیر بسزایی دارد، این تغییر جریان های سیستم گردش اتمسفری در طول سال ها می تواند تغییرات آب و هوا را نشان دهد. آب و هوا و بارش هم در اردبیل در نتیجه تغییر جریان های سیستم گردش اتمسفری است. جریان جنوب شرقی SE در طول سال ها متداول ترین نوع سیستم گردش اتمسفری (لمب) است، هنگامی که جریان جنوب شرقی SE در طول سال ها افزایش می یابد جریان های دیگر کاهش می یابد. شکل (۵) تغییرات پنج جریان اصلی را در طول سالها (۱۹۷۰-۲۰۰۷) نشان می دهد.

پرتال جامع علوم انسانی



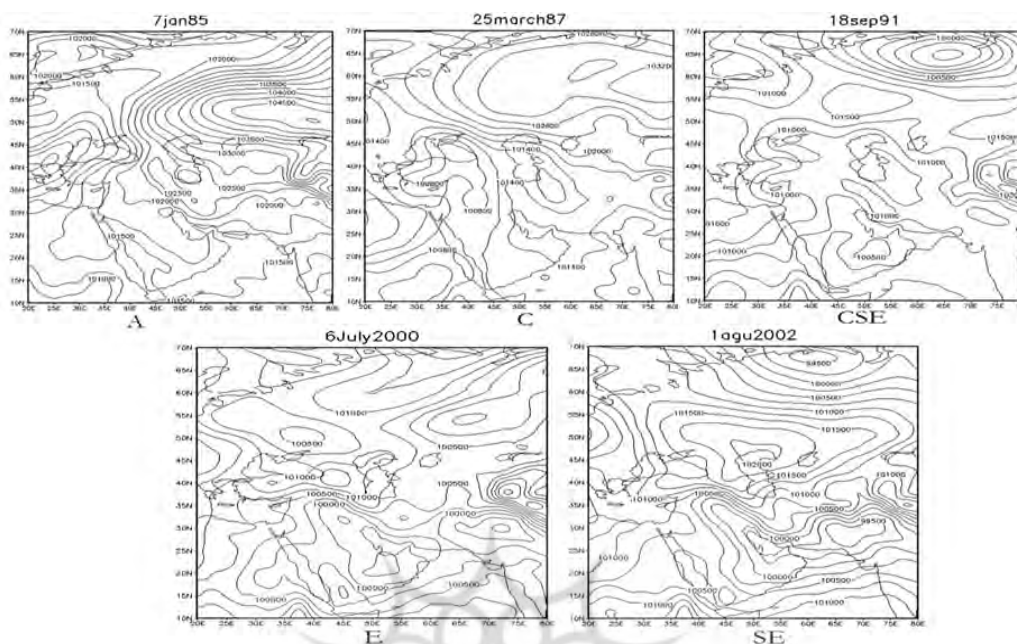
شکل (۵). تغییرات فراوانی پنج جریان عمده سیستم گردش اتمسفری در سال‌های ۱۹۷۰-۲۰۰۷

روابط بین بارش‌های شدید و جریان‌های سیستم گردش اتمسفری و شرایط سینوپتیک آنها ناهنجاری‌های تراکم بارش شدید با جریان‌های مدل گردش اتمسفری مرتبط است. شکل (۷) ناهنجاری‌های بارش شدید مرتبط با جریان‌های سیستم گردش اتمسفری برای اردبیل را نشان می‌دهد. شکل (۶ الف) میانگین برآورد شده بارش و خطاهای مرتبط را نشان می‌دهد. نمودار خطا، خطاهای استاندارد محاسبه شده را نشان می‌دهد. در شکل (۶ الف) تفاوت قابل توجهی بین شرایط سیکلونیک و آنتی سیکلون دیده می‌شود، در حالی که شرایط آنتی سیکلون به طور عمده به ناهنجاری‌های کم با دامنه‌ای متغیر منجر می‌شود، ناهنجاری‌های مثبت و نسبتاً پایدار اغلب در مورد شرایط سیکلون بوجود می‌آیند. برای جریان‌های جهت‌دار SE و E شرایط مشابهی وجود دارد. در حالی که جریان SE در آنومالی پایین است، E در انحنای بالا است. با این حال، می‌توان دریافت که جریان‌های CSE و C به طور کلی به آب و هوای بارانی تمایل دارند، در حالی که A و C نسبت به ناهنجاری‌های دمای مثبت تمایل دارند. گرچه تغییر پذیری در هر گروه قابل توجه است، جریان شرقی E نسبت به جریان جنوب شرقی SE دارای ناهنجاری بیشتری است. شکل (۶ ب) نشان می‌دهد که بارش شدید می‌تواند با بیش از یک نوع سیستم گردش اتمسفری همراه با تغییرات واضح برای هر نوع گردش سیستم اتمسفری مرتبط باشد. با این اوصاف واضح است که بارش‌های شدید با پیشروی جریان‌های سیکلونیک ارتباط دارند، در غیر اینصورت با آنتی سیکلون یا جریان‌های جهت‌دار ارتباط دارند. بارش شدید در اردبیل در شرایط سیکلونی شمالی در سپتامبر و شرایط سیکلون و پرفشار در بهار است. این وضعیت مرتبط با جریان‌های CSE و C شرایط سیکلونی هند و پاکستان و پرفشار سیبری و شمال اروپا در بهار و پاییز است. رطوبت دریای خزر و سطح زمین با جریان شمال غربی - جنوب شرقی و جریان‌های غربی باعث افزایش بارندگی در منطقه می‌شود. بیشترین میزان بارش در اردبیل در بهار و تابستان در زمان دقیق ورود سیکلون شمالی و کم فشار پاکستان با رطوبت بالا است.



شکل (۶). ناهنجاری های بارش همراه با شاخص های گردش اتمسفری

نقشه های ترکیبی برای هر جریان اصلی سیستم گردش اتمسفری برای مدت سال های ۱۹۷۱-۲۰۰۷ برای هر ماه و فصل محاسبه شد به این منظور روزهای نمونه برای هر نوع سیستم گردش اتمسفری انتخاب شده است. در شکل (۷) یک نمونه برای هر نوع سیستم گردش اتمسفری برای روزهای بارش شدید در طول (۲۰۰۷-۲۰۰۷) ارائه شده است و ویژگی های سینوپتیکی مربوط به آن برای روزهای انتخابی در این مقاله در جدول (۴) آورده شده است.



شکل (۷). نقشه‌های فشار سطح دریا برای روزهای انتخابی بارش شدید اردبیل

جدول (۴). ویژگی‌های سینوپتیکی مربوط به روزهای انتخابی

| | |
|-----|--|
| A | روزهای با ویژگی‌های سینوپتیکی ورود یک سامانه پر فشار از عرضهای شمالی و روسیه (پرفشار سبیری) به طرف اردبیل و شمال ایران، و همچنین وجود یک جبهه هوا بین پرفشار سبیری و سیکلون شمالی اروپا در روی دریای خزر |
| C | روزهایی با شرایط سینوپتیکی وجود یک سامانه کم فشار در منطقه مرکزی ایران و گسترش کم فشار عربستان از سمت غرب ایران، |
| CSE | روزهایی با شرایط سینوپتیکی وجود پرفشار در ایران مرکزی و گسترش یک سامانه کم فشار از عرضهای شمالی به طرف ایران. |
| SE | روزهایی با شرایط سینوپتیکی گسترش سامانه کم فشار پاکستان و دره گنگ از سمت شرق و جنوب شرق به سمت ایران و تشکیل یک پرفشار بر روی دریای خزر و شمال ایران، قرار گرفتن این در این شرایط باعث وجود روزهای خنک و بارانی میشود. |
| E | روزهایی با شرایط سینوپتیکی وجود و گسترش کم فشار گنگ و پاکستان و همچنین کم فشار عربستان بر روی ایران. |

نتیجه گیری

هدف مهم این مطالعه، شناخت الگوهای سیستم گردش جوی (لمب) است که حاوی اطلاعات مربوط به گردش جوی در ارتباط با روزهای بارش شدید در استان اردبیل می باشد. سیستم طبقه بندی گردش اتمسفری که توسط Lamb توسعه یافته است، برای بدست آوردن ۲۷ کلاس طبقه بندی با شش شاخص به این منظور استفاده شده است. فراوانی‌های شاخص‌های مختلف سیستم گردش جوی برای دوره‌های مختلف ارائه شد. بنابراین پنج شاخص از مجموع ۲۷ کلاس با فراوانی بیشتر از پنج درصد به عنوان پنج شاخص اصلی سیستم طبقه بندی گردش جوی نشان داده شده است. A, SE, E, CSE و SE شایع ترین شاخص سیستم گردش اتمسفری شناسایی شده اند بیشترین کلاس سیستم طبقه بندی گردش جوی در سراسر منطقه SE است، اما بیشترین مقدار بارندگی مربوط به شرایط سیکلونی است. ظاهراً آب و هوای منطقه تحت تأثیر شاخص سیستم گردش اتمسفری خانواده SE و سیکلون قرار دارد. فصل گرم (ژوئن - آگوست) با جریان‌های مکرر و جهت دار

SE و بیشتر E مشخص می شود در حالی که شاخص های دیگر گردش جوی در این فصل کمتر به نظر می رسند. در فصول سرد از اکتبر تا ماه مارس، پنج شاخص گردش اتمسفری ، E، A، SE، CSE و C در منطقه جریان دارد میزان بارش شدید در اردبیل در ماه سپتامبر و بهار مربوط به خانواده سیکلون است. همچنین نشان داده شده است که پنج شاخص گردش اتمسفری بویژه CSE خانواده سیکلون و C، اغلب با ناهنجاری های بارش زیاد همراه است. نظر می رسد که مرکز فشار کم و پرفشار عرضهای بالا و شمالی در فصل بهار و پاییز بارندگی را تشدید می کند، جریان CSE، شرایط سیکلونی هند و پاکستان و پرفشار سیبری از شمال اروپا هم بی تاثیر نیستند. هرچند خانواده SE در طول سالهای متمادی شاخص سیستم گردش اتمسفری غالب است، از میزان بارش کمتری برخوردار است.

در نهایت، جریان های جوی در ارتباط با بارش های شدید ، بارش بیش از ۵۰ میلی متر در اردبیل مورد مطالعه قرار گرفته است، نشان داده شده است که پنج شاخص در سالهای ۱۹۷۱-۲۰۰۷ نقش مهمی دارند. نتیجه گرفته می شود که سیستم گردش جوی نقش مهمی در تعیین بارش و آب و هوای شدید در استان شمال غربی ایران دارد. نتایج این پژوهش با توجه به داشتن روشی متفاوت با پژوهش های دیگر صلاحی (۱۳۸۹) و صلاحی و عالی جهان (۱۳۹۴)، با نتایج آنها همسو بوده به گونه ای اثبات کننده نتایج آنهاست.

منابع

جاللی، مسعود؛ دوستکامیان، مهدی؛ شیری کریم وندی، امین. (۱۳۹۸). **بررسی و تحلیل همدیدی دینامیکی سازوکارهای بارش فراگیر زمستانه ایران**، نشریه تحقیقات کاربردی علوم جغرافیایی، ۱۹(۵۵): ۳۷-۵۵.

صلاحی، برومند، عالی جهان، مهدی. (۱۳۹۴) **استخراج و تحلیل الگوهای سینوپتیک منجر به توفان های تندری دشت اردبیل**، پژوهش های جغرافیای طبیعی، ۴۷(۳): ۳۹۹-۴۱۹.

روحبخش سیگارودی، حسین علی؛ کریمپور، مصطفی؛ مرادی، محمد؛ آزادی، مجید؛ قائمی، هوشنگ. (۱۳۹۸). **تحلیل آماره ها و بی هنجاری های بارش های ایران در دوره گرم سال**، نشریه تحقیقات کاربردی علوم جغرافیایی، ۱۹(۵۵): ۷۹-۹۸.

Belleflamme A, Fettweis X, Erpicum M. (2015). **Do global warming- induced circulation pattern changes affect temperature and precipitation over Europe during summer?** International Journal of Climatology. 23(1):3-5

Briffa KR. (1995). **The simulation of weather types in GCMs: A regional approach to control-run validation. In Analysis of Climate Variability, von Storch H, Navarra A (eds).** Analysis of climate variability Springer: Berlin. 12(5): 122-123

Chen D, Hellstroöm C. (1999). **The influence of the North Atlantic Oscillation on the regional temperature variability in Sweden: spatial and temporal variations,** Dynamic Meteorology and Oceanography 1(4): 505-516.

Danesvar Vosughi, Din paxhoh. (2012). **Investigating the process of underground water quality changes in Ardebil plain using Spearman method,** journal of Mohit shenasi, 4(12):24

Goodess CM, Palutikof JP. (1998). **Development of daily rainfall scenarios for southeast Spain using a circulation-type approach to downscaling,** International Journal of Climatology, 18(10): 120-124

- Hess P, Brezovsky -H. (1977). **Katalog der Grosswetterlagen Europas (1881–1976) Berichte des Deutschen Wetterdienstes**. *Climate research*, 11(5): 45-46
- Hewitson BC, Crane RG. (2002). **Self-organizing maps: applications to synoptic climatology**. *Clim Res* .22(1):13-26
- Hurrell JW, van Loon H. (1997). **Decadal variations in climate associated with the North Atlantic Oscillation**. *Climatic Change* .36(5):8-9
- JaliliSh, Ingo Kirchner, David M. Livingstonec, SaeidMorida, (2012), **the influence of large-scale atmospheric circulation weather types on variations in the water level of Lake Urmia, Iran**, *international journal of climatology*.24(12): 10-20.
- Jenkinson AF, Collison FP. (1977). **An initial climatology of gales over the North Sea. Synoptic Climatology Branch Memorandum**, Meteorological Office, Bracknell.62(8):31-35.
- Jones PD, Kelly PM. (1982). **Principal component analysis of the Lamb catalogue of daily weather types: Part 1, Annual frequencies**. *International Journal of Climatology*. 2(3):25-35.
- Jones PD. (1983). **The early twentieth century Arctic High—fact or fiction?** *Climate Dynamics* .63(12): 52-65.
- Lamb HH. (1950). **Types and spells of weather around the year in the British Isles**. *Quarterly Journal of the Royal Meteorological Society* 76(18): 35-36
- Lamb HH. (1972). **British Isles weather types and a register of daily sequence of circulation patterns, 1861–1971**. *Geophysical Memoirs Meteorological Office: London, UK*. 85(5):12-15.
- Liu1 Wenbin Lei Wang Deliang Chen Kai Tu Chengqing Ruan Zengyun Hu, (2015), **large-scale circulation classification and its links to observed precipitation in the eastern and central Tibetan Plateau**. *Clim Dyn.*,10(12):5-8.
- Osborn TJ, Briffa KR, Tett SFB, Jones PD, Trigo RM. (1999). **Evaluation of the North Atlantic Oscillation as simulated by a coupled climate model**. *Climate Dynamics*, 15(22): 12-15
- Pope1 R J, E W Butt, M P Chipperfield, R M Doherty, S Fenech, A Schmidt, S R Arnold and N H Savage. (2016). **the impact of synoptic weather on UK surface ozone and implications for premature mortality**, *Environmental Research Letters, Environ. Res. Lett.* 11(2):8-5
- Salahi B, Mahdi Alijahan. (2015). **Extracting and analyzing synoptic patterns led to thunderstorm rainfall in Ardebil plain**, *journal of physical geography in Tehran*, 3(8):8-10.
- Trigo RM, DaCamara, CC. (2000). **Circulation Weather Types and their influence on the precipitation regime in Portugal**. *International Journal of Climatology*. 20(14):15-16.
- Tveito OE. (2010). **an assessment of circulation type classifications for precipitation distribution in Norway**. *PhysChem Earth*. 35(4):18-19.